

データベース・システムの性能解析

梨山修, 村井正和, 河津誠一
(電気公社・横須賀研究所)

1. まえがき

企業又は国家活動等において、情報、データが有用な資源であるという認識は常識となってきた。その結果、既存のファイルを統合して、常に鮮度の高いデータを蓄積しておき、各部門からこれを共有して多目的に使用できるソフトウェア技術の開発が要望されている。又ハードウェア・コストの低下に比して、ソフトウェア・コストが相対的に高くなつて行く傾向から、データとプログラムの独立性を保証することが要求されている。

今日、これらのニーズに応えるべくとして、データベース管理システムが一般に注目されるようになってきたが、まだ発展段階のソフトウェア技術であり、実用レベルのデータベース・システムを実現するとなると、いくつかの難しい問題を解決しなければならぬ状況である。現状のハードウェア技術の下で、実用レベルのデータベース・システムを構築する場合の大きな問題の一つは性能である。本論文は、こうした問題の解決の方法として、データベース・システムに対する解析モデルを作成し、スループットと応答時間に関して解析を行なつたものである。

2. データベース・システムの特徴分析

データベース・システムの性能を解析するに先立ち、データベースの技術的特徴と、それらの特徴がデータベース・システムの制御方式、処理方式にどのように関係しているかを考察する。図2.1はデータベースの技術的特徴と、それらの特徴を実現する手段、制御方式、処理方式の関係を概念的に示したものである。この中から、データベース・システムの性能と関係する制御方式、処理方式を抽出すると以下のようなものがある。

- (i) トランザクションのスケジューリング方式 (Resource limitation scheduling / Resource free scheduling)
 - (ii) 排他制御方式 (排他制御単位: ポージ/レルム)
 - (iii) ディナーリング方式 (ディナーリングの多重度: シングル/マルチ, ディナーリングの単位: ポージ/レコード, ディナーリング用媒体: 磁気テープ/ドラム/パック)
 - (iv) バッファ管理方式 (バッファをタスク間で共有するかどうか: 共有バッファ/個別バッファ, スワッピング・アルゴリズム)
 - (v) 非同期処理方式 (非同期の度合: 完全非同期/部分非同期)
 - (vi) 負荷管理方式 (CPU, メモリ, I/O回数等を考慮した負荷管理)
- 今回報告する解析モデルには、上記方式中の(i)～(iii)を要因として取り入れている。(iv)～(vi)については今後の検討課題である。

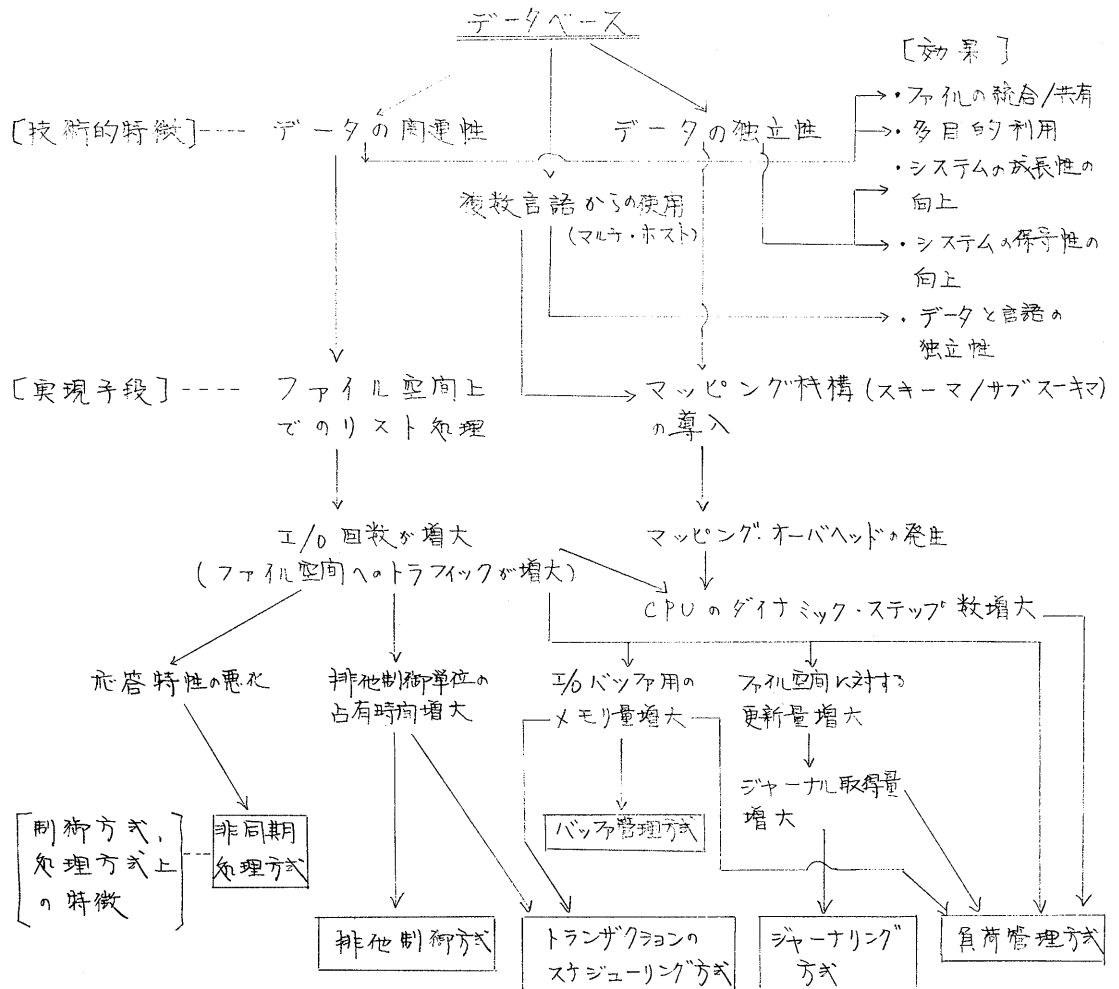


図2.1 データベース・システムの特徴分析

3. 性能解析

データベース・システムの性能を次の手順に従って解析を行なう。

- (1) 第1段階； 解析モデルの作成
- (2) 第2段階； 実効リソース使用時間によるスループットの算出
- (3) 第3段階； 応答時間の計算×スループット=応答時間曲線の作成

3.1 トランザクションリソース・モデル

トランザクションリソース・モデルの概念は、図3.1に示す通りである。環境(外部システム)よりシステム中へインプットされるトランザクション(例：メッセージ、ジョブ)は、システム中の各種リソースを使用しながら処理を行ない、環境へアウトプットされる。この時、各種リソースの利用率(ρ_i)は次式で示される。

$$\rho_i = \frac{s_i \cdot T_i}{\lambda \cdot N_i} \quad (3.1)$$

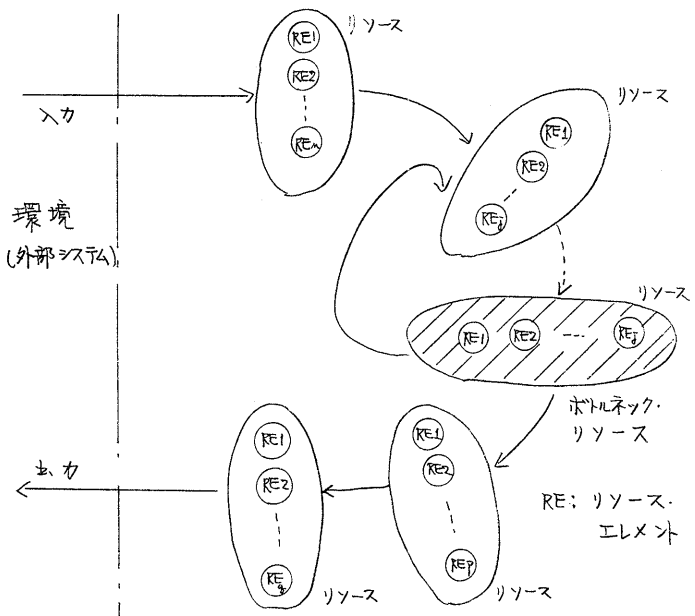


図3.1 トランザクションリソース・モデルの概念

＜記号の意味＞

ρ_i : リソース*i*の利用率（ i はリソースを表す）

β_i : スループット。

単位時間当たりに、リソース*i*において処理されるトランザクションの量。平衡状態においては、すべての β_i は等しい。

T_i : 1個のトランザクションがリソース*i*を使用する平均時間（平均使用時間）。

ϕ : 単位時間。

N_i^* : リソース*i*におけるエレメント数（リソース・エレメント数）。

このリソースの中で、利用率の最も高いリソースをボトルネック・リソース（BNRと略記）と呼ぶ。ここで N_i^* 個のリソース・エレメントが完全に独立に動作できる場合は問題ないが、動作できない場合には何らかの補正が必要になってくる。補正後の N_i^* を N_i^* であらわし、有効リソース・エレメント数と呼ぶ。 N_i^* を使えば、 ρ_i は

$$\rho_i = \frac{\beta_i \cdot T_i}{\phi \cdot N_i^*} \quad \text{--- (3.2)}$$

となる。これより

$$\beta_i = \frac{\rho_i \cdot \phi}{\left(\frac{T_i}{N_i^*}\right)} \quad \text{--- (3.3)}$$

となる。 $\beta_i = 1$ 時のスループットを最大スループットと呼ぶと、最大スループットは $\left(\frac{T_i}{N_i^*}\right)$ によって決まる。この $\left(\frac{T_i}{N_i^*}\right)$ を実効リソース使用時間と呼ぶ。 N_i^* から N_i^* を算出する方法はリソースの種別、使われ方によって異なるので、リソース毎に考える必要がある。例えば、マルチ・プロセッサの場合に使われているマルチ様数は、CPUが2台の場合の N_i^* に相当すると考えられる。

3.2 解析モデルの作成

データベース・システムのアーキテクチャを決めるうえでの最も大きな外因は、スループットと応答時間の関係であると言える。そこでモデルとして、これまでいくつも開発されているデータベース・システムのアーキテクチャから次の2つの代表的タイプを考えて、スループット、応答時間の関係を解析する。

- ・非スケジューリング・モデル
- ・スケジューリング・モデル

この二つのモデルを設けるために共通する基本的前提出条件は次の通りである。

〈前提出条件〉

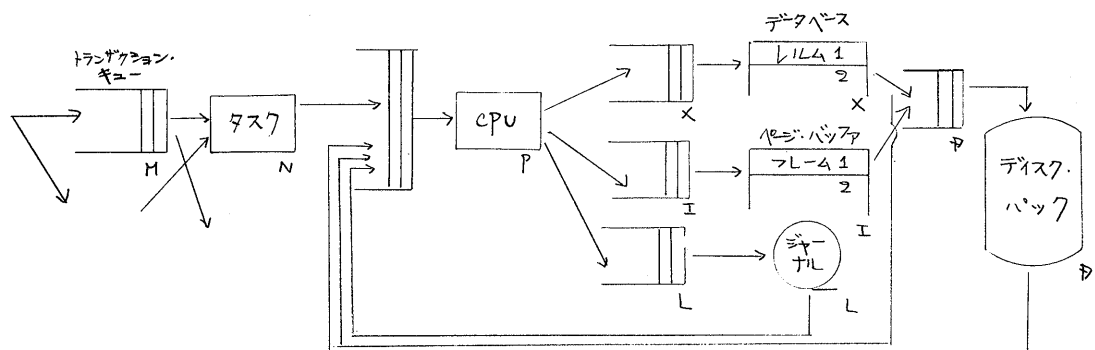
① システム資源中で、ホトルネットになる可能性のある資源を、タスク、CPU、排他制御単位、ジャーナル、バッファ（データベース用入出力バッファ）磁気ディスク・パックとする。

② その他の資源においては、待ち時間は無視できる程度小さいものとする。

③ 1トランザクションの処理に関して、READ、又はWRITE操作と共に並行処理を行なわないとする（同期処理）。

3. 乙. 1 非スケジューリング・モデル

非スケジューリング・モデルはデータベース機能とデータ通信機能をいわば直列に結合して、実時間の処理形態でデータベースに対する処理を行なおうとするものである。本モデルの特徴は、後述するスケジューリング・モデルで行なつてゐるトランザクション・スケジューリングを行なわないことである。本モデルの構成を図3. 乙に示す。



\square_m : リソース。 m はリソース・エントリ数。

$\overline{\square\ \square}_n$: キュー。 n はキューの数。

図3. 乙 非スケジューリング・モデル

3. 乙. 2 スケジューリング・モデル

非スケジューリング・モデルでは、トランザクションがタスクをつかむことと、そのタスクが使用するレルムとの関係は、全く無関係である。従って、タスクは一般には処理の途中でレルム待ちの状態に遭遇する（レルム・レベルの排他制御時）。とくに、タスクのレルム使用時間が長く、かつレルム待ちの状態に遭遇する確率が大きくなるような状況下においては、トランザクションをタスクからFWFOで渡す单纯な非スケジューリング方式では、タスク・ネットを発生する可能性がある。このため、このネットを解消する手段としてトランザクション・スケジューリングを行なう方式がある。すなわち、そのトランザクションの必要とするレルムが空きの状態にあるものから、優先的にタスクでの処理を始めるようスケジュールする方式である。本モデルでは、トランザクションをトランザクション・キューに接続すると同時に、レルム・キューにも接続してしまうとするものである。この方式では、タスクが処理の途中でレルム待ちになる

ことはないから、タスクにおける処理効率は一般に向上すると考えられる。しかし、タスクでの処理が開始され、データベースへアクセスしてみると、一般的にどのページが使用されるか分からないので、トランザクション・スケジューリングでページ・レベルの排他制御を行なうことは不可能である。この結果、非スケジューリング・モデルに比べて、常に有利な方法とは言い切れない。

3.3 スループット、応答時間の算出

各モデルにおけるスループット、応答時間を算出する手順は以下の通りである。

＜算出手順＞

- ① 各リソース毎の T_i の計算
- ② 各リソース毎の N_i の計算
- ③ 対応リソース使用時間 (T/N) 表の作成。

T/N の最大なリソースが、ボトルネック・リソース (BNR) である。もし BNR の N_i の上限値 (限界利用率) が応答時間とは無関係に走められていれば、(3.3) 式より直ちに T_i を計算することができる。これが同時にシステム全体のスループットとなる。

- ④ スループット - 応答時間曲線 (S-R 曲線) の作成。

BNR の限界利用率が走められていない場合は、 T/N 表を利用して、S-R 曲線を描く。この曲線とシステムに要求されている平均応答時間との関係から、システム全体のスループットが走まる。この様子を図3.3に示す。

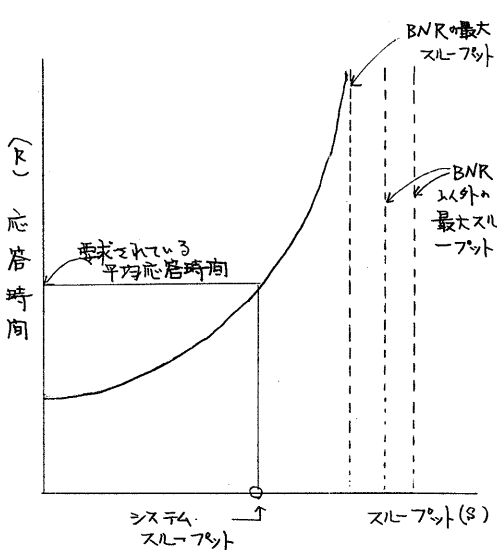


図3.3 S-R曲線によるスループットの推定

$T_{c,p}$, $W_{c,p}$, レルム・レベルの排他制御の時を $T_{c,R}$, $W_{c,R}$ と表す。

(ii) ディヤーナル

トランザクションは、一般に複数回ディヤーナルをワーキングするが、その

3.3.1 非スケジューリング・モデルのスループットと応答時間
上記の算出手順に従って、非スケジューリング・モデルのスループットを算出する。

(4) T_i の計算

本モデルにおけるリソースとしては、CPU, レルム, ページ, ディヤーナル, 磁気ディスク・バッファ, タスクがある。それぞれの T_i は以下のようになる。

(i) CPU

トランザクションは CPU を時分割的に複数回使用するが、その使用時間の総和の平均値が T_i である。また待ち時間の総和の平均値を W_i とする。これら i 値は排他制御のレベルによって異なる。ページ・レベルの排他制御の時を、

使用時間の総和の平均値が T_J である。また待ち時間の総和の平均値を W_J とする。

(iii) ディスク・パック

1トランザクションは、一般に複数回のREAD, 又はWRITE操作をディスク・パックに対して行なう。この時の使用時間の総和の平均値が T_R である。また待ち時間の総和の平均値を W_R とする。

(iv) レルム

1トランザクションは、一般に複数のレルムを同時に占有する。又処理の途中で、必要に応じて新しいレルムを占有したり、不要になつたレルムの占有を解除したりする。1トランザクションが1レルムを占有する時間の総和の平均値が T_R である。また待ち時間の総和の平均値を W_R とする。これらはレルム・レベルの排他制御時間の意味を持つ。

(v) ページ

1トランザクションが1ページを占有する時間の総和の平均値が T_P である。また待ち時間の総和の平均値を W_P とする。

(vi) タスク

1トランザクションが、1個のタスクを使用する時間は、排他制御のレベルによって異なる。1トランザクションのタスク使用時間の平均値 T_c は次式により与えられる。

$$T_c = H_c + H_J + H_R + \left\{ \frac{W_R}{W_P} \right\}$$

$\left\{ \frac{W_R}{W_P} \right\}$: レルム・レベル排他制御時間には W_R , ページ・レベル排他制御時間には W_P .

$H_c = T_c + W_c$ ---- | トランザクションのCアリ保留時間。

保留時間 = 使用時間 + 待ち時間

$$H_J = T_J + W_J$$

$$H_R = T_R + W_R$$

CPU使用時間およびタスク使用時間が排他制御レベルの影響を受ける。

(2) N^* の計算

各リソース毎の有効リソース・エレメント数 N^* は以下のようになる。

(i) CPU

$$N_c^* = (1 - l_c) \cdot P \quad \text{ここで } l_c: CPU の競合係数, P: CPU の台数$$

(ii) ジャーナル

$$N_J^* = d_J \cdot (1 - l_J) \cdot L$$

ここで d_J : ジャーナルのあたり係数, l_J : ジャーナルの競合係数
 L : JNL の台数

(iii) ディスク・パック

$$N_R^* = d_R \cdot (1 - l_R) \cdot T$$

ここで d_R : ディスク・パックのあたり係数, l_R : ディスク・パックの競合係数, T : ディスク・パックの台数

(iv) レルム

$$N_K^* = d_K \cdot K / m_R$$

ここで d_K : レルムのあたり係数, m_R : 1トランザクションが占有するレルムの平均数(マルチ・リクエスト係数), K : レルムの数

(v) ページ

$$N_p = d_p \cdot X \cdot K / m_p$$

ここで d_p : ページのあたり保有数, X : 1 レルムのページ数, K : レルムの数, m_p : 1 トランザクションが占有するページの平均数(マルチリクエスト保有数)

(vi) タスク

$$N_T^* = \begin{cases} N & (\text{if } M \cdot d_{T_B} > N) \\ M \cdot d_{T_B} & (\text{if } M \cdot d_{T_B} \leq N) \end{cases}$$

ここで N : タスクの数(多度), M : トランザクション・キューの数
 d_{T_B} : トランザクション・キューのあたり保有数

(3) 対応リソース使用時間(T / N^*)のテーブル化

上で求めた T_i , N^* より T / N^* 表を作成すれば、表 3.1 のようになる。

表中で、 T_i / N^* が最大のり

リソースが、モデル中のボトルネック・リソース(B

N_R)となる。もし $B N R$

が CPU, ディスク, ディス

ク・パックのうちのい

ずれかであることが仮定で

きる場合には、

$$S_{BNR} = \frac{\phi \cdot p_{BNR}}{T_{BNR} / N_{BNR}^*}$$

直ちにシステムのスルーフ

ットが求められる。但しこ

の時 p_{BNR} は、 $B N R$ の限界利

用率である。一方上記の仮

定が成立しない場合には、

レルム, ページ, タスクの T_i を求める必要がある。この時

には、CPU, ディスク, ディス

ク・パックの待機時間(= 使用時間 + 待

ち時間)を求める必要がある。これについて、次項(4)参照。

(4) スルーフット一応答時間(S-R)曲線の作成

$B N R$ の T_i が他リソースでの待ち時間に関係していたり、又は $B N R$ の限界

利用率を走られないような場合には、前項までの手順ではスルーフットは走

らない。このような場合には、次のように応答時間との関連で、パフォーマンス

が規定されるのが妥当であろう。

「単位時間当たりのスルーフットは A 件で、その時の平均応答時間は B 秒以内で

あること」。または、「平均応答時間 B 秒で、その時のスルーフットは単位時間

当たり A 件以上であること」。このような要求に応えるためには、スルーフットと

応答時間の関係が把握される必要がある。本モデルにおける応答時間と、トラン

ザクションがトランザクション・キューに到着してから、タスクによる処理が終

了するまでと定義すると、応答時間 R は次式で表わされる。

$$R = T_T + T_T$$

トランザクション・キューに到着するトランザクションの到着間隔、および各リ

ソースにおける使用時間については、実際のシステムに対応した確率分布を設

表 3.1 非スケジューリング・モデルの対応リソース使用時間

リソース	T_i	N_i^*	T_i / N_i^*
CPU	T_c	$(1 - l_c) \cdot P$	$T_c / (1 - l_c) \cdot P$
ディスク	T_d	$d_d \cdot (1 - l_d) \cdot L$	$T_d / d_d \cdot (1 - l_d) \cdot L$
ディスク・パック	T_p	$d_p \cdot (1 - l_p) \cdot T$	$T_p / d_p \cdot (1 - l_p) \cdot T$
レルム	$T_R = H_{c,R} + H_{b,R} + H_{s,R}$	$d_R \cdot K / m_R$	$T_R / (d_R \cdot K / m_R)$
ページ	$T_p = H_{a,p} + H_{b,p} + H_{s,p}$	$d_p \cdot K \cdot X / m_p$	$T_p / d_p \cdot X \cdot (K / m_p)$
タスク	$T_T = H_c + H_j + H_d + T_R$ 非他制御	$N : \text{if } M \cdot d_{T_B} > N$ $M \cdot d_{T_B} : \text{if } M \cdot d_{T_B} \leq N$	T_T / N^*
ページ・レベル	$T_T = H_c + H_j + H_d + T_p$ 非他制御		

することが必要であるが、この場合となり複雑な分布となり、計算のし易いものにならない。そこで大体の目安をつけることを目的として近似的な分布を考えてみる。即ち、トランザクション・キーに到着するトランザクションの到着间隔が指数分布、すべてのリソースにおける使用時間が指数分布であると仮定する。また複数のリソース・エレメントが存在するタスク、CPU等においてもオーバル化として、 T/N を T とおき、單一サーバーみなして待ち時間計算する。つまり全リソースに対して $N/M/1$ を適用する。以上の仮定のもとで、Rは以下のようになる。

$$R = \frac{\rho_T}{1-\rho_T} \cdot \frac{T_T}{N_T^*} + T_T = \left\{ \frac{\rho_T}{1-\rho_T} \cdot \frac{1}{N_T^*} + 1 \right\} T_T = F_T \cdot T_T \quad \dots \quad (3.4)$$

但し $F_T = \frac{\rho_T}{1-\rho_T} \cdot \frac{1}{N_T^*} + 1$ 表3.1の結果をこれに代入すると、

(i) レルム・レベル制御時間

$$R = F_T \cdot T_T = F_T \cdot (H_c + H_J + H_D + W_R)$$

$$\text{一方 } W_R = \frac{\rho_R}{1-\rho_R} \cdot T_R = \frac{\rho_R}{1-\rho_R} (H_{c,R} + H_{D,R} + H_{J,R}) \quad \dots \quad (3.5)$$

であるから $R = F_T \cdot \left\{ H_c + H_J + H_D + \frac{\rho_R}{1-\rho_R} (H_{c,R} + H_{D,R} + H_{J,R}) \right\} \quad \dots \quad (3.6)$

$$\text{また } H_c = \left\{ \frac{\rho_c}{1-\rho_c} \cdot \frac{1}{N_c^*} + 1 \right\} T_c = F_c \cdot T_c, \quad H_J = \frac{1}{1-\rho_J} \cdot T_J$$

$$H_D = \frac{1}{1-\rho_D} \cdot T_D, \quad H_{c,R} = F_c \cdot T_{c,R}, \quad H_{J,R} = \frac{1}{1-\rho_J} \cdot T_{J,R}, \quad H_{D,R} = \frac{1}{1-\rho_D} \cdot T_{D,R}$$

であるから、(3.6)式に代入して、

$$R = F_T \cdot \left\{ F_c \cdot T_c + \frac{1}{1-\rho_J} \cdot T_J + \frac{1}{1-\rho_D} \cdot T_D + \frac{\rho_R}{1-\rho_R} \left(F_c \cdot T_{c,R} + \frac{1}{1-\rho_D} \cdot T_{D,R} + \frac{1}{1-\rho_J} \cdot T_{J,R} \right) \right\} \quad \dots \quad (3.7)$$

(3.7)式は、 $\rho_i, N_i^*, T_i, T_{i,R}$ の関数であるから、

$$R = f(\rho_i, N_i^*, T_i, T_{i,R}, R) \quad \Rightarrow \quad \rho_i = \frac{s \cdot T_i}{N_i^* \cdot s} \text{ より } R = f(s, N_i^*, T_i, T_{i,R})$$

CPU, ジャーナル, ディスク・バックの T_i はスループット (s) に直角関係にあるが、タスク、レルムの T_i は s の関数であるから、

$R = f(s, N_i^*, T_c, T_D, T_J, T_{c,R}, T_{D,R}, T_{J,R})$ $N_i^*, T_c, T_D, T_J, T_{c,R}, T_{D,R}, T_{J,R}$ を固定 (定数) と考えてよい時は、Rは s のみの関数、すなわち $R = f(s)$ となる。

(ii) ピージュ・レベル制御時間

レルム・レベルの制御時間と同様に

$$R = F_T \cdot \left\{ F_c \cdot T_c + \frac{1}{1-\rho_J} \cdot T_J + \frac{1}{1-\rho_D} \cdot T_D + \frac{\rho_P}{1-\rho_P} \left(F_c \cdot T_{c,P} + \frac{1}{1-\rho_D} \cdot T_{D,P} + \frac{1}{1-\rho_J} \cdot T_{J,P} \right) \right\} \quad \dots \quad (3.8)$$

(3.7)式と(3.8)式の F_c , T_c は一般的にその値が異なることに注意する必要がある。この場合も同様に N_i^* , T_c , T_p , T_J , $T_{p,p}$, $T_{p,p}$, $T_{J,p}$ を固長(実数)と看えてよい時には、 $R = f(\beta)$ となる。式(3.7), (3.8)よりスループット—応答時間曲線(3-R曲線)を描くことができる。曲線の形がどのようなくなるかは、各パラメータの値に依存するが、その一例を図3.4に示す。また点A, Bが図に示すような位置にあるとすれば、このようなサーキュレーション・システムにおいてはレルム、レベルの排他制御の方が有利であると言える。

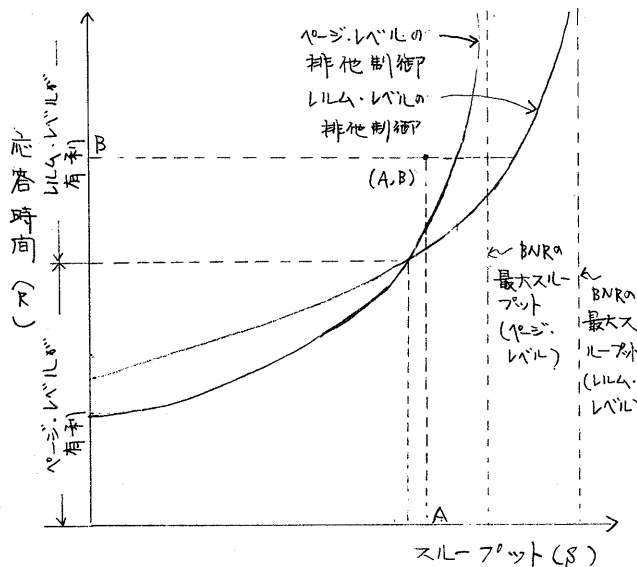


図3.4 3-R曲線の1例

3.3.2 スケジューリング・モデルのスループットと応答時間

基本的な解釈手法は前項と同じであるから、非スケジューリング・モデルとの相違点を中心にして述べるにとどめる。

スケジューリング・モデルでは、タスクの処理中にトランザクションがレルム待ちの状態に遭遇することはないから、

$$T_f = H_c + H_J + H_p \quad \dots (3.10)$$

また本モデルでは、トランザクション・キューでタスクとレルムを待っていることになるから、トランザクション・キューにおける潜伏時間を T_R

$$\text{とする} \quad T_{TA} = W_T + W_R \quad \dots (3.10)$$

で近似的に表記される。 N_i^* は非スケジューリング・モデルの場合と全く同じである。実効リソース使用時間(表3.2)を示す。本モデルにおける応答時間は、

$$R = T_{TA} + T_T \quad \dots (3.11)$$

(3.10)式より

$$R = W_T + W_R + T_T \\ = F_T \cdot T_T + W_R \quad \dots (3.12)$$

一方

$$\left. \begin{aligned} H_c &= F_c \cdot T_c \\ H_J &= \frac{1}{1-p_J} \cdot T_J \\ H_p &= \frac{1}{1-p_p} \cdot T_p \end{aligned} \right\} \dots (3.13)$$

表3.2 スケジューリング・モデルの実効リソース使用時間			
リソース	T_i	N_i^*	T_i / N_i^*
CPU	T_c	$(1-l_c) \cdot p$	$T_c / (1-l_c) \cdot p$
ジャーナル	T_J	$d_J \cdot (1-l_J) \cdot L$	$T_J / d_J (1-l_J) \cdot L$
ディスク・バス	T_p	$d_p \cdot (1-l_p) \cdot T$	$T_p / d_p (1-l_p) \cdot T$
レルム	$T_R = H_{c,R} + H_{p,R} + H_{J,R}$	$d_R \cdot K / m_R$	$T_R / (d_R \cdot K / m_R)$
タスク	$T_T = H_c + H_J + H_p$	$N : \text{if } M \cdot d_{TA} > N$ $M \cdot d_{TA} : \text{if } M \cdot d_{TA} \leq N$	$\frac{T_T}{N^*}$

$$W_R = \frac{p_R}{1-p_R} \cdot T_R = \frac{p_R}{1-p_R} (H_{c,R} + H_{p,R} + H_{J,R}) = \frac{p_R}{1-p_R} (F_c \cdot T_{c,R} + \frac{1}{1-p_p} \cdot T_{p,R} + \frac{1}{1-p_J} \cdot T_{J,R}) \quad \dots (3.14)$$

(3. 9), (3. 13), (3. 14) を (3. 12) に代入して、

$$R = F_T \left(F_c \cdot T_c + \frac{1}{1-p_j} \cdot T_j + \frac{1}{1-p_p} \cdot T_p \right) \\ + \frac{p_R}{1-p_R} \left(F_{c,R} \cdot T_{c,R} + \frac{1}{1-p_p} \cdot T_{p,R} + \frac{1}{1-p_j} \cdot T_{j,R} \right) \quad \dots \quad (3.14)$$

4. モデルの活用

前章までは、このデータベース・システム モデルを作り、それを実効リソース使用時間、S-R 間隔等を使って性能の解析を行なった。この結果は、以下のような問題を答える際に有力なツールとなろう。

- (1) レルム・レベルの排他制御とページ・レベルの排他制御は、パフォーマンス上どちらが有利か。もしこの有利さが左右される条件があれば、それは何か。
- (2) レルム・レベルの排他制御時には、トランザクション・スキージューリングを行なう方式と、行なわない方式が考えられる。パフォーマンス上どちらが有利か。もしこの有利さが左右される条件があれば、それは何か。
- (3) タスクの多重度、CPU の台数(マルチ・プロセッサ、ポリプロセッサ) / 速度、データベースの台数 / 性能、レルムの数、バックファイト回数(ページ・フレーム数)、ページ・サイズ等はスループット、応答時間にどのような影響を与えるか。

5. 今後の課題

今後に残された課題としては、以下のようなものがある。

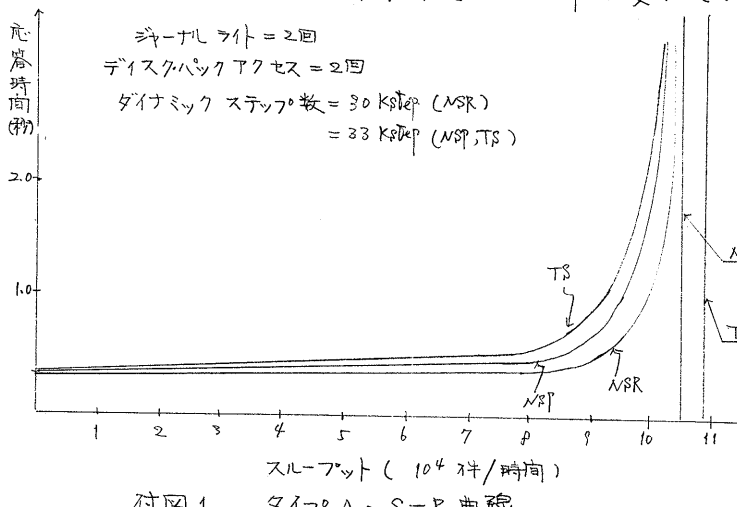
- (1) バックファイト方式のモデルへの取り込みと、スループット、応答時間に与える影響の解析。またオーデマンド・ページングとの関連。
- (2) 非同期処理方式のモデルへの取り込みと、スループット、応答時間に与える影響の解析。
- (3) オンライン・トランザクションとバッチ・ジョブのようないくつかの一般的な処理特性の異なるものが同一データベースへコンカレントにアクセスする時のスループット、応答時間の関係。またこの時に有効な負荷管理方式。
- (4) TSS 環境下におけるデータベース・システムの性能解析。
- (5) 超大量記憶装置(MAS)が導入された時のステーシング/デステーシングの問題と性能に与える影響の解析。

6. 参考文献

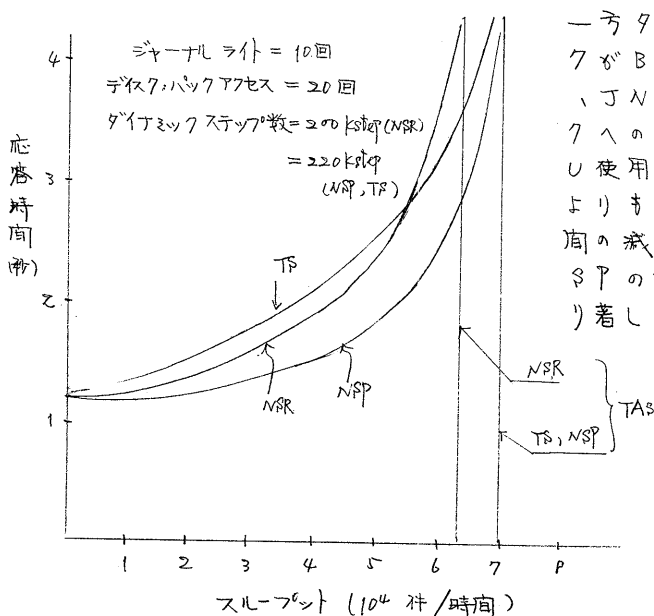
- (1) J.F.C. Kingman; The single server queue in Heavy Traffic, Proc. Camb. Phil. Soc 57 (1961), pp 902~904
- (2) Buzen, J.; Analysis of system bottlenecks using a queuing network model, ACM Workshop on System Performance Evaluation.
- (3) 森雅夫; 待ち行列論の最近の動向, 経営科学, Vol 15, No 4, 1971年11月
- (4) 平塚, 林, 河津; オンラインシステムにおけるリエントラントエリニアの最適構成について, 情報処理学会 昭和46年度第12回大会予稿集, 1971, pp 183~184
- (5) 河津; 处理能力測定報告書, データ通信本部内部資料, 1972

<付属資料—解説例>

電気公社が開発している、あるいは開発することを計画しているシステムの中から代表的な業務タイプとしてバンキング・タイプ（以下タイプAと呼ぶ）と登録業務タイプ（タイプB）を取り上げる。本文におけるステジエーリング・モデル（以下TSと略す）と、非ステジエーリング・モデルとを使って解析結果を示すと付図1、付図2のようになる。非ステジエーリングの場合には、同一曲線を排他制御単位がレルム（NSRと略記）、およびページ（NSPと略記）の2つのケースについて求めている。図中に、特性パラメータの中の主なものを作記しておいた。各々についてスルーフットが一歩の時の応答時間と比較すると、タイプAではNSRが、タイプBではNSPが優れていることが分かる。タイプA



におけるBNRは、TS、NSPの時はCPUであり、NSRの時はタスクである。本タイプでは、CPUの使用時間(T_u)の増加による応答時間に与える影響が悪化(悪化)の方がレルム待ち時間の減少、タスク待ち時間の減少よりも大きいために、TS、NSPの応答特性の方がNSRの応答特性よりも悪化していると言えられる。



一方タイプBでは、いずれの場合もタスクがBNRになってしまっている。本タイプでは、JNLへの書き込み、ディスク・ハックへのアクセス回数が多いために、CPUの使用時間の増加による応答特性の悪化よりも、レルム待ち時間、タスク待ち時間の減少の効果の方が大きいために、NSPの応答特性がNSR、TSのそれより著しくよくなっていることが分かる。

これらの例からも明かなように、各種の方式の有利さは、対象とするシステム環境と密接に関連している。データベース管理システムのインプリメンタ、あるいはデータベース・システムの設計者は、この事実を充分に認識し、システム環境を構成する各種リソースの性能、数量等を量的に把握し、その上で最適な方式を選択する配慮が必要となってこよう。